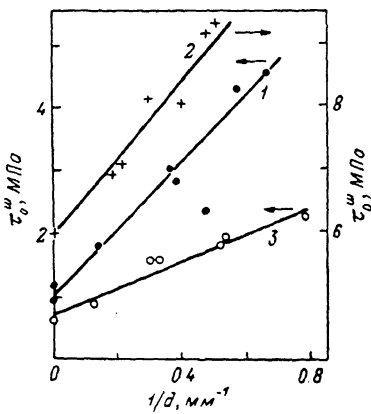


РАЗМЕРНЫЙ ЭФФЕКТ В УПРОЧНЕНИИ КРИСТАЛЛОВ LiF и NaCl С НАРУШЕННЫМ ПОВЕРХНОСТНЫМ СЛОЕМ

С. В. Лубенец, Л. С. Фоменко

В [1, 2] мы обратили внимание, что увеличение предела текучести кристаллов LiF с нарушенным поверхностным слоем зависит от размеров поперечного сечения образца, но не согласуется с простым правилом смесей для композита «мягкая матрица—жесткая поверхность». В данной работе для выявления дополнительных особенностей упрочняющего влияния жесткой поверхности было проведено детальное изучение размерного эффекта.

Объектом исследования служили ранее изученные кристаллы LiF-2 [1, 2], а также кристаллы NaCl. Размеры образцов в поперечном сечении изменяли от $\sim 1.25 \times 2$ до $\sim 7 \times 8$ мм. Боковые гранишлифовали на стеклянной пластинке, смачиваемой



Зависимость предела текучести τ_0' шлифованных образцов кристаллов LiF-2 (1, 2) и NaCl (3) от обратного расстояния между шлифованными гранями $1/d$.

τ_0' ($d^{-1}=0$) соответствует пределу текучести нешлифованного образца. $T=300$ (1, 3) и 77 К (2).

взвесью абразивного порошка М-1 в керосине. Такая обработка приводила к образованию нарушенного слоя глубиной $h \approx 30$ мкм в LiF и $h \approx 45$ мкм в NaCl. Деформирование сжатием проводили со средней скоростью сдвиговой деформации $\dot{\gamma} = 3 \cdot 10^{-4} \text{ с}^{-1}$ при двух температурах — 77 и 300 К.

Результаты экспериментов показаны на рисунке в координатах $\tau_0' - 1/d$, где τ_0' — предел текучести шлифованного образца, d — меньший из размеров в поперечном сечении или расстояние между парой шлифованных граней, если две другие не шлифовались. Видно, что размерный эффект в упрочнении кристаллов хорошо описывается соотношением

$$\tau_0' = \tau_0 + kd^{-1}, \quad (1)$$

включающим предел текучести τ_0 нешлифованного образца. Коэффициент k зависит от температуры и типа кристалла (см. таблицу). Этот коэффициент, очевидно, связан с распространением деформации через поверхностный слой и является обобщенной характеристикой его прочности.

Согласно рентгеноструктурным исследованиям [3], приповерхностный слой превращается в мелкозернистый поликристалл. Поскольку сопротивление пластической деформации поликристалла гораздо выше, чем монокристалла (см., например, данные по NaCl [4]), то шлифованный поверхностный слой является существенным препятствием для выхода дислокаций из объема.

Наблюдение особенностей деформационного упрочнения шлифованных образцов LiF [1, 2] показывает, что по характеру вызываемых механических эффектов нарушенный слой подобен окисным пленкам или тонким покрытиям другого материала на поверхности металлов [5]. В последнем случае результатирующее упрочнение тоже превышает рассчитанное на основании правила смесей [6]. По предположению Аргона [6], причина, по-видимому, состоит в том, что в увеличении несущей способ-

Кристалл	T, K	$10^4 \frac{\mu}{\text{МПа}}$	b, 10^{-8} см	τ_0 , МПа	k, МПа · мм	τ_f , МПа	h_i , мкм
LiF-2	300	4.15	2.84	1.00 ± 0.1	5.2	15.9	320
	77			6.00 ± 0.15			
NaCl	300	1.49	3.97	0.60 ± 0.05	2.1	42.5	130
						6.5	300

ности образца жесткая поверхность играет не только прямую, но и косвенную роль: прочный поверхностный барьер стимулирует в прилегающей области материала множественное скольжение, усиливающее процессы деформационного упрочнения.

По приближенной оценке [6] толщина упрочненного слоя

$$h_s = \frac{H}{\sqrt{2}} \frac{h}{H+h} \left(\frac{\tau_f}{\tau_0} - 1 \right) \approx \frac{h}{\sqrt{2}} \left(\frac{\tau_f}{\tau_0} - 1 \right), \quad (2)$$

а предел текучести гетерогенного ансамбля, включающего матрицу, промежуточный упрочненный слой и жесткую поверхность, равен

$$\sigma_h = \frac{2H\tau_0}{H+h} \left[1 + \frac{1}{2\sqrt{2}} \frac{h}{H+h} \left(\frac{\tau_f}{\tau_0} - 1 \right)^2 \right] + \frac{\tau_f h}{H+h}. \quad (3)$$

Здесь τ_f — предел текучести поверхностного слоя, нормальное напряжение $\sigma_h = 2\tau_0^u$, $H = 0.5 d \gg h$.

Сравнивая (1) и (3), нетрудно видеть аналогию этих выражений. При этом коэффициент k определяется пластическим сопротивлением матрицы, поверхностного слоя и толщиной этого слоя

$$k = \tau_0 h \left[\frac{\tau_f}{\tau_0} + \frac{1}{\sqrt{2}} \left(\frac{\tau_f}{\tau_0} - 1 \right)^2 \right]. \quad (4)$$

Формулы (2) и (4) и значения k и h позволяют определить параметры модели τ_f и h_i . Результаты расчета приведены в таблице.

Параметры τ_f и h_i в принципе могут быть измерены экспериментально. Однако для этого требуются дополнительные исследования. Здесь мы приведем два аргумента в пользу того, что вычисленные величины τ_f дают разумное представление о пластическом сопротивлении нарушенного слоя. Действительно, во-первых, в случае NaCl значение $2\tau_0 = 13$ МПа достаточно хорошо согласуется с пределом текучести поликристалла $\sigma_0 \approx 17$ МПа [4]. Во-вторых, поскольку согласно [2], σ_0 примерно соответствует напряжению течения зерен с максимальной плотностью дислокаций ρ ($\sigma_0 \sim \mu b \sqrt{\rho}$), то становится понятным более высокое значение τ_f в случае LiF: $(\sigma_0)_{\text{LiF}} / (\sigma_0)_{\text{NaCl}} \sim (\mu b)_{\text{LiF}} / (\mu b)_{\text{NaCl}} = 2$, что близко к отношению соответствующих величин τ_f (см. таблицу; μ — модуль сдвига, b — вектор Бюргерса).

Таким образом, в работе показано, что предел текучести кристаллов с нарушенным поверхностным слоем зависит от размеров образца и увеличивается обратно пропорционально меньшему расстоянию между противоположнымишлифованными гранями. Размерный эффект может быть непротиворечив объяснен в рамках модели Аргона [6], в которой предполагается, что жесткий поверхностный слой (в нашем случае поликристаллический) обусловливает формирование в прилегающей матрице промежуточного слоя, сильно упрочненного за счет процессов множественного скольжения. Результатом этого является существенное увеличение несущей способностишлифованных образцов.

Авторы благодарны В. Д. Нацкую, В. И. Доценко, В. З. Бенгусу и В. Н. Ковалевой за полезные дискуссии.

Список литературы

- [1] Лубенец С. В., Фоменко Л. С. // ФТТ. 1989. Т. 31. № 10. С. 290—292.
- [2] Lubenets S. V., Fomenko L. S. // Cryst. Res. Technol. 1989. V. 24. N 11. P. K189—K196.
- [3] Ром М. А., Кришталь Е. Е. // Поверхность. 1986. № 2. С. 141—144.
- [4] Nadgorny E. N., Strunk H. P. // Phys. St. Sol. (a). 1987. V. 104. P. 193—202.
- [5] Latanision R. M. / Ed. J. T. Fourie. Surface effects in crystal plasticity. Ser. E: Applied Science. N 17. Noordhoff—Leyden, 1977. 944 p.
- [6] Argon A. S. // Ibid. P. 383—430.

**Физико-технический институт
низких температур АН УССР
Харьков**

Поступило в Редакцию
10 апреля 1990 г.

УДК 538.67

© Физика твердого тела, том 32, № 10, 1990.
Solid State Physics, vol. 32, N 10, 1990

МАГНИТНАЯ АНИЗОТРОПИЯ КРИСТАЛЛОВ

$\text{La}_{1-x}(\text{Sr}, \text{Pb})_x\text{MnO}_{3+\gamma}$ с $x=0.1$ и 0.3

T. M. Перекалина, И. Э. Липиньски, В. А. Тимофеева, С. А. Черкезян

Соединение LaMnO_3 , имеющее орторомбическую структуру, является антиферромагнетиком и полупроводником. При замещении трехвалентного лантана двухвалентным стронцием или свинцом, т. е. в составах $\text{La}_{1-x}\text{M}_x\text{MnO}_{3+\gamma}$, при $x \geq 0.1$ возникает ферромагнетизм. При этом соответствующая часть ионов марганца становится четырехвалентной и появляется высокая электропроводность металлического типа. Составы $\text{La}_{1-x}\text{M}_x\text{MnO}_{3+\gamma}$ ($\text{M}=\text{Sr}, \text{Pb}$) имеют ромбоэдрически искаженную структуру перовскита.

В настоящей работе была предпринята попытка вырастить кристаллы $\text{La}_{1-x}\text{Sr}_x\text{MnO}_{3+\gamma}$ с целью исследования их магнитной анизотропии. Выращивание проводилось раствор-расплавным методом. Вырастить кристаллы удалось только в расплаве $\text{Pb}_2\text{OF}_2-\text{LiBO}_2-\text{LiVO}_3$, содержащем свинец, который, конечно, должен был войти в их состав. Таким образом, кристаллы имели следующий состав: $\text{La}_{1-x}(\text{Sr}, \text{Pb})_x\text{MnO}_{3+\gamma}$ с $x \approx 0.1$ и 0.3 . Нагрев расплава при выращивании проводился до 1050°C , охлаждение со скоростью от единиц до десятых долей градуса в час. Рентгеноструктурный анализ показал, что выращенные кристаллы имеют структуру кубического перовскита с ромбоэдрическим искажением и с удвоенной постоянной решетки $a=7.770 \text{ \AA}$.

Магнитные и электрические свойства $\text{La}_{1-x}\text{Sr}_x\text{MnO}_{3+\gamma}$ описаны в [1—3]. Природа ферромагнетизма в них была объяснена в [4] на основе двойного обменного взаимодействия, а в [3] — на основе теории Рудермана—Киттеля—Иосиды—Касуя (РКИ).

Физические свойства $\text{La}_{1-x}\text{M}_x\text{MnO}_{3+\gamma}$, с $\text{M}=\text{Ca}, \text{Sr}, \text{Pb}, \text{Ba}$ исследовались на поликристаллических образцах, и только в одном случае ($\text{M}=\text{Pb}$) были выращены монокристаллы [5]. На них проводилось исследование ферромагнитного резонанса [6], и было сообщено, что они полностью изотропны. Магнитная анизотропия других лантановых мanganитов не исследовалась.

В настоящей работе магнитные и электрические исследования проводились на одних и тех же образцах. Электрическое сопротивление измерялось четырехконтактным методом, намагниченность — с помощью вибрационного магнитометра, магнитная анизотропия — методом крутящих моментов. Все измерения проводились в интервале температур 77—300 К на восьми кристаллах: четырех с $x \approx 0.1$ и четырех с $x \approx 0.3$.